

Intro:

Un système bouclé est un système comportant au  $\ominus$  une boucle de rétroaction qui réinjecte la sortie du syst. au niveau de son entrée.

L'étude de la stabilité de tels systèmes nous permet de distinguer 2 types : les oscillateurs et les systèmes asservis.

Dans ce montage, nous nous limiterons à l'étude d'un système asservi : l'asservissement de position. Ce système est largement rencontré dans l'industrie notamment pour les robots de chaînes de montage.

Plan:I. Détermination des caractéristiques électriques du moteur1-  $R_m$ 2-  $L_m$ 3-  $K$ II. Asservissement en position

1- Bouclage

2- Réponse indicielle.

3- Etude harmonique

4- Caractéristiques mécaniques du moteur

III. Correction

1- Proportionnelle

2- A avance de phase.

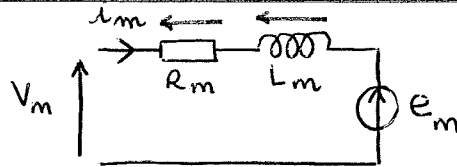
## Biblio:

• Duffaut p 328 et suivantes

• Manneville Systèmes asservis ... p 46 et suivantes

# I. Détermination des caractéristiques électriques du moteur. BO

modélisation



$$V_m = e_m + L_m \frac{di_m}{dt} + R_m i_m \quad \text{et} \quad e_m = k_m \Omega_m$$

$\uparrow$  fem                     $\uparrow$  inductance de l'induit                     $\uparrow$  résistance de l'induit

## 1. $R_m$ ?

Pour  $\neq$  positions angulaires de la charge on mesure  $R_m$  à l'ohmètre

$$\langle R_m \rangle = \pm \Omega$$

$\uparrow$  dispersion des valeurs

## 2. $L_m$ ?

Pour  $\neq$  positions angulaires de la charge on mesure  $L_m$  à l'inductancemètre (position 1 kHz)

$$\langle L_m \rangle = \pm \text{mH.}$$

$$\Rightarrow \tau_{\text{él}} = \frac{L_m}{R_m} =$$

on va négliger  $L_m$  dans la suite de notre modélisation.

## 3. $k_m$ ?

Mesure de  $k_m$  en régime permanent  $V_m = k_m \Omega_m + R_m i_m$

on mesure  $V_m$  et  $I_m$  au voltmètre et à l'ampèremètre resp.

on observe la tension aux bornes du potentiomètre

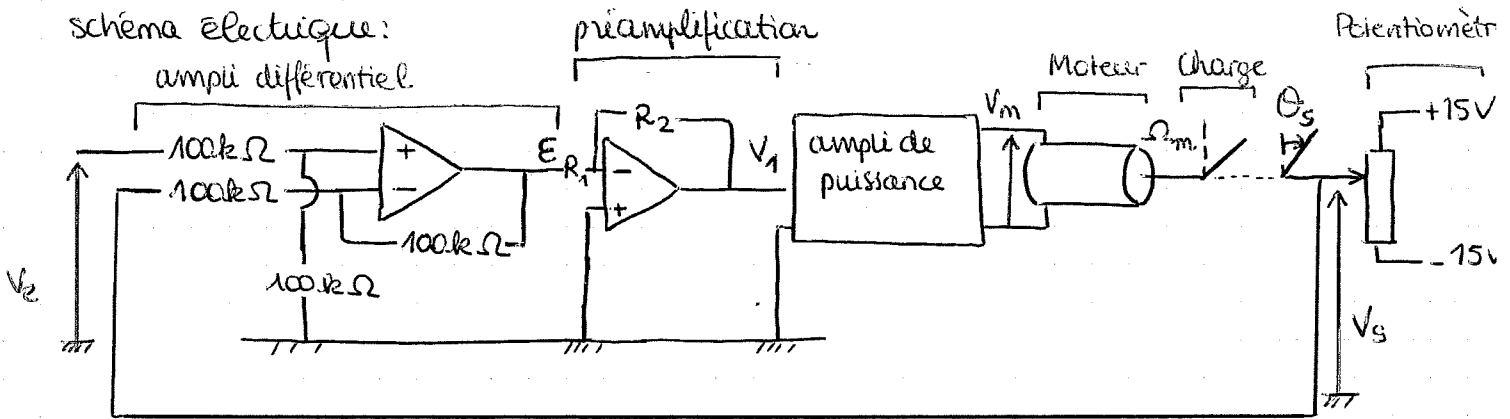
$$\text{signal période de période } T_m = \frac{2\pi}{\Omega_m} \pm 0,2 \text{ ms}$$

on trace  $V_m - R_m i_m$  en f° de  $\Omega_m \rightarrow$  ajustement par 1 modèle

linéaire  $y = ax + b$  pente  $a = k_m$ .

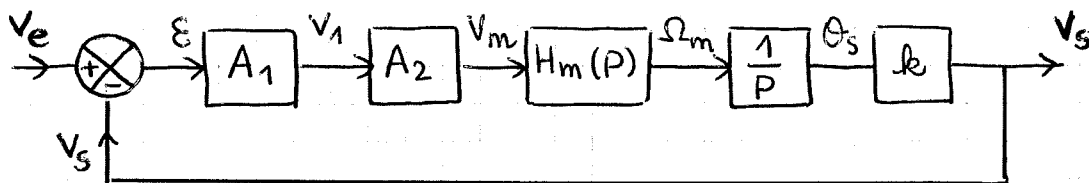
$$k_m = 0,11 \pm 0,01 \text{ V.s}$$

1. Bouclage



- amply différentiel → soustracteur  $\oplus \otimes$
- préamplificateur → amply inverseur  $A_1$  ( $R_1 = 10k\Omega$ ,  $R_2 = 100k\Omega$ )
- amply de puissance  $A_2$  → adaptat° d'impédance } actionneurs.
  - géné.  $50\Omega$
  - $Z_e = 10k\Omega$
  - $Z_s = \frac{1}{100}\Omega$
  - moteur  $\sim 10\Omega$
- moteur  $H_m(p)$
- potentiomètre : convertir  $\Theta_s$  en  $V_s \Rightarrow$  capteur qualité de l'asservissement dépend de celle du capteur.  $k$

schéma bloc équivalent:



hyp : AO parfaits ( $i_+ = i_- = 0$ ), en rég. linéaire.

Blocs : \*  $E = V_e - V_s$

\*  $V_1 = A_1 \cdot E = - \frac{R_2}{R_1} V_e = -10 V_e$

\*  $V_m = A_2 V_1 = - V_1$

\*  $V_s = k \Theta_s = \frac{\Delta V}{\Delta \theta} \Theta_s = \frac{120}{360} \Theta_s = 3,6 \cdot 10^{-2} \Theta_s$

\*  $H_m(p) ?$

modélisation mécanique du moteur

TMC  $J_m \frac{d\Omega_m}{dt} = C_m - C_f - a \Omega_m$  et  $C_m = k_m i_m$

$J_m$  : moment d'inertie moteur + charge  
 $C_m$  : couple moteur  
 $C_f$  : frott solide  
 $a \Omega_m$  : frott fluide

Cf pas pris en compte dans la suite.

$$\Rightarrow 2 \text{ \u00e9q pour le moteur } \begin{cases} J_m p \Omega_m = k_m i_m - a \Omega_m \\ V_m = R_m i_m + k_m \Omega_m \end{cases}$$

$$\Rightarrow H_m(p) = \frac{\Omega_m}{V_m} = \frac{k_m / R_m}{a + \frac{k_m^2}{R_m} + J_m p}$$

$$\Rightarrow H_m(p) \equiv \frac{A_m}{1 + \tau_m p}$$

• on ne connaît pas  $a$  ni  $J_m$  mais nous allons qd \u00fan pouvoir asservir le syst \u2192 int\u00e9r\u00eat !

• sans bouclage } \u2192 bras tourne  
consigne cr\u00e9neau }

ac bouclage } \u2192 ne tourne plus \u2192 suit la consigne.  
consigne cr\u00e9neau }

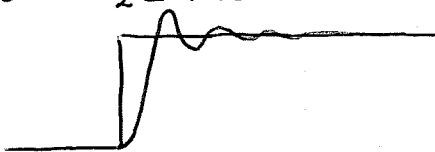
si perturbation (main) \u2192 insensibilit\u00e9  
force puis retour \u00e0 la consigne  
qd perturbation stoppe.

$$FTBO = A_1 \cdot A_2 \cdot H_m(p) \cdot \frac{1}{p} \cdot K = \frac{K A_1 A_2 A_m}{p(1 + \tau_m p)} \quad \text{pe d'un int\u00e9rateur de la ch\u00e2ne directe}$$

$$FTBF = \frac{FTBO}{1 + FTBO} \quad \text{(Black)} \quad \text{\u2192 retour unitaire} \quad \Rightarrow FTBF \equiv \frac{\omega_0^2}{p^2 + 2m\omega_0 p + \omega_0^2} \quad \text{ordre 2.}$$

2. R\u00e9ponse indicielle. (on teste le syst de ce lim.)

r\u00e9ponse \u00e0 un cr\u00e9neau d'amplitude cr\u00eate-cr\u00eate =  $\leftarrow f = \checkmark$  Hz  
pour  $R_2 = 100 \text{ k}\Omega$ .



\u00e9chelon  $V_e = \frac{V_0}{p}$       erreur  $E = V_e - V_s = V_e - FTBO \cdot E$   
 $\Rightarrow E = \frac{V_e}{1 + FTBO}$

\* erreur statique

$$\lim_{t \rightarrow \infty} E(t) = \lim_{p \rightarrow 0^+} p E(p) = \lim_{p \rightarrow 0^+} R_x \frac{V_0 / R}{1 + \frac{K A_1 A_2 A_m}{p(1 + \tau_m p)}} = 0$$

en th\u00e9orie pas d'erreur statique

causes possibles erreur statique:  $K A_1 A_2 A_m$  trop faible

capteur pas tout \u00e0 fait fid\u00e8le.

\* stabilité.

$$D_1 = \pm$$

$$T_{ps} = \pm \text{ ms}$$

\* rapidité

$$t_r = \pm \text{ ms}$$

formules théoriques  $\exists$  :  $D_1 = \exp(-\pi \frac{m}{\sqrt{1-m^2}})$   
pr syst du 2<sup>nd</sup> ordre

$$\Rightarrow m = \pm$$

rg:  $m \in [0, 0,7]$   
 $\Rightarrow$  pr 1 syst du 2<sup>nd</sup> ordre  
présence d'oscillations  
et d'une résonance.

qualitativement  $m \ll 0,7$   
 $D_1 \sim \exp(-\pi m) \approx 1 - \pi m \Rightarrow D_1$  élevé  
 $\Rightarrow$  linéaire

2q  $Q = \frac{1}{2m}$   
 $\uparrow$   
facteur de  
qualité

$$\bullet t_r \approx \frac{3}{m\omega_0}$$

$$\Rightarrow \omega_0 \approx \pm \Delta^{-1}$$

$$\frac{\Delta\omega_0}{\omega_0} = \frac{\Delta t_r}{t_r} + \frac{\Delta m}{m}$$

et  $\sigma_m = \frac{1}{2m\omega_0} \Rightarrow \sigma_m = \pm$

rg:  $\sigma_m \gg \tau_{él}$  appx vérifiée.

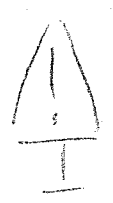
### 3. Etude harmonique

~~$V_e$ : tension d'amplitude constante sinusoidale modulée en fréquence  
 $f$  varie linéairement de 2,49 Hz à 30,30 Hz~~

$$FTBF(j\omega) = \frac{\omega_0^2}{-\omega^2 + 2mj\omega_0\omega + \omega_0^2}$$

on trace  $\frac{V_{PPS}}{V_{APE}}$  en f<sup>o</sup> de  $f \in [1, 30] \text{ Hz}$

$|FTBF|_{max}$  lorsque  $f(\omega) = (\omega_0^2 - \omega^2)^2 + (2m\omega_0\omega)^2$  est min



pour  $m \in [0, 0,7]$  la résonance a lieu pour

$$\Rightarrow \omega_r = \omega_0 \sqrt{1 - 2m^2} = 15 \times 2\pi = 94 \text{ rad.s}^{-1}$$

$$f(\omega_r) = 4m^2(1 - m^2) \rightarrow |FTBF|_{max} = \frac{1}{2m\sqrt{1 - m^2}}$$

à comparer  $( m = 0,28 \pm \dots )$

#### 4. Caractéristiques mécaniques du moteur

$$\omega_0 = \sqrt{\frac{k A_1 A_2 k_m}{R_m J_m}} \rightarrow J_m = \frac{k A_1 A_2 k_m}{R_m \omega_0^2}$$

$$\frac{\Delta J_m}{J_m} = \frac{\Delta A_1}{A_1} + \frac{\Delta A_2}{A_2} + \frac{\Delta k_m}{k_m} + \frac{\Delta R_m}{R_m} + 2 \frac{\Delta \omega_0}{\omega_0} \rightarrow J_m = \pm \text{kg.m}^2$$

$$m = \frac{a R_m + k_m^2}{2 \sqrt{k A_1 A_2 k_m J_m R_m}}$$

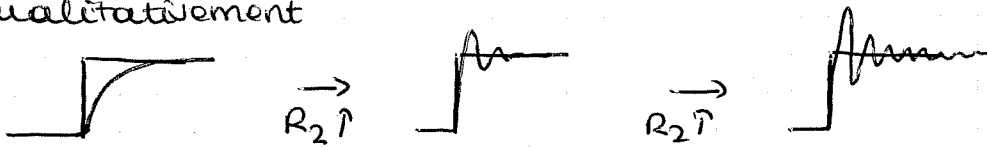
$$\Rightarrow a = \frac{2 \sqrt{k A_1 A_2 k_m J_m R_m} m - k_m^2}{R_m}$$

$$\rightarrow a = \pm \text{N.m.s}^{-1}$$

#### III. Correction. (réponse indicielle)

##### 1. Proportionnelle

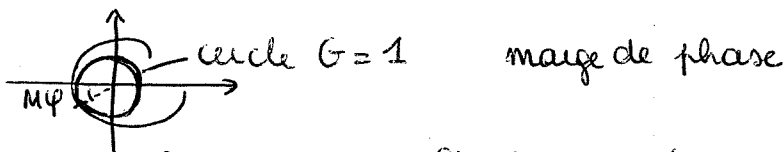
qualitativement



peut éliminer erreur statique s'il y en a une (capteur manque de fidélité) en  $\uparrow R_2$  ms  $\uparrow R_2 \Rightarrow$  déstabilisation

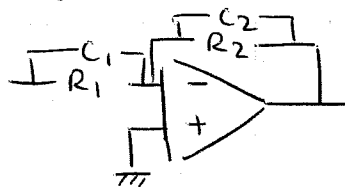
##### 2. A avance de phase.

en BO  $G(p)$



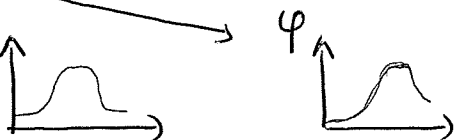
$\uparrow$  marge de phase  $\Rightarrow$  stabilisation système avec correcteur à avance de phase (éloignement du pt critique de Nyquist)

sens ampli inverseur



$$C(p) = \frac{1 + \tau_1 p}{1 + \tau_2 p}$$

$$\tau_1 > \tau_2$$



$$FTBO' = C(p) \times FTBO$$

choix de  $C_1$  :  $\tau_1 = \tau_m$   
 $C_1 = 2,2 \mu F$  ~~stabilisation~~

$\tau_2 = R_2 C_2$  valeur tp caractéristique du syst.

7

$\tau_2 < \tau_m \rightarrow$  choix de  $C_2$  ~~choix de  $C_2$~~   
 $C_2 = 82 \text{ nF}$

$$m = \frac{1}{2\sqrt{B_m \tau_m}}$$

$$m' = \frac{1}{2\sqrt{B_m \tau_2}}$$

$$\rightarrow m' = m \sqrt{\frac{\tau_m}{\tau_2}} > m$$

stabilité

Rq:  $m=1$  syst le + rapide sans dépassement.

### Conclusion:

A partir d'un moteur que nous avons caractérisé, nous avons mis en œuvre un asservissement de position.

Nous avons étudié ce système bouclé et amélioré ses performances grâce à quelques corrections.

L'intérêt d'un asservissement est que la sortie est à l'image de l'entrée <sup>premier</sup> malgré les perturbations. Nous avons pu remarquer qu'il  $\exists$  un compromis entre stabilité et rapidité.

Suivant le cahier des charges, les ingénieurs choisissent l'un ou l'autre de ces critères. Par exemple un robot de peinture devra surtout être rapide mais sa stabilité n'est pas critique.

A contrario un robot de chirurgie devra être précis et stable mais pas nécessairement très rapide. Pour cet ex on peut voir d'autres avantages de l'asservissement. En effet il peut permettre de filtrer les tremblements du chirurgien et/ou d'ajouter en facteur d'échelle entre les mvts du chirurgien et ceux du robot.

